

УДК 538.69 : 539.124.14

Н. А. Сергеев и О. В. Фалалеев

**ИЗУЧЕНИЕ СВОБОДНЫХ РАДИКАЛОВ В γ -ОБЛУЧЕННОМ
 $\text{KH}_3(\text{SeO}_3)_2$ МЕТОДОМ ЭПР**

Изучены спектры ЭПР γ -облученного монокристалла и поликристалла $\text{KH}_3(\text{SeO}_3)_2$ в интервале температур от -180 до $+70^\circ\text{C}$ ($T_{\text{пл}}$). Радикал, ответственный за спектр ЭПР, идентифицирован как SeO_2^- . Определены g -тензор и тензор сверхтонкого взаимодействия, а также ориентация радикала в структуре.

Щелочные тригидроселенинты (к которым удобно формально отнести селенистую кислоту H_2SeO_3) с общей химической формулой $\text{AH}_3(\text{SeO}_3)_2$ ($A = \text{Li}, \text{Na}, \text{K}, \text{Rb}, \text{Cs}, \text{NH}_4$) обладают весьма различными кристаллическими структурами и физическими свойствами [1]. Это обстоятельство делает их очень интересными объектами для многих целей. В частности, представляет интерес использование этого семейства для изучения особенностей образования, строения и поведения свободных радикалов, стабилизованных в твердых телах. В свою очередь всесторонняя информация о свойствах стабильных радикалов необходима для рассмотрения вопроса об использовании последних в качестве молекулярных «зондов», позволяющих привлечь широкие возможности метода ЭПР для исследования физико-химических свойств этих соединений.

Из данного семейства методом ЭПР исследовались γ -облученные селенистая кислота (радикал HSeO_2^-) [2], тригидроселенинит лития (радикал SeO_2^-) [3], радикал SeO_3^{2-} [4]) и тригидроселенинит натрия (радикал SeO_2^-) [5]. Ниже представлены результаты изучения свободных радикалов, образующихся при комнатной температуре в γ -облученном тригидроселенините калия.

Кристаллическая структура $\text{KH}_3(\text{SeO}_3)_2$ подробно исследована независимо двумя группами авторов [6, 7]. Кристаллы этого соединения ромбические; основным структурным элементом является SeO_3 -группа, которая заметно искажена: $\text{Se}-\text{O}_1 1,67$, $\text{Se}-\text{O}_2 1,71$, $\text{Se}-\text{O}_3 1,73 \text{ \AA}$. Величины углов OSeO в среднем составляют около 100° . Характерная особенность кристаллической структуры тригидроселенинита калия заключается в наличии четко выраженных сдвоенных слоев, параллельных кристаллографической плоскости bc . Они построены из SeO_3 -групп, соединенных водородными связями и катионами K^+ , причем SeO_3 -группы ориентированы таким образом, что наружу слоев направлены только кислородные атомы O_3 . Между солями имеются лишь слабые ван-дер-ваальсовы силы, что объясняет совершенную спайность параллельно плоскости bc .

Синтез тригидроселенинита калия и выращивание монокристаллов проводили по методике [8]. Определение кристаллографических направлений осуществляли с помощью рентгеновского дифрактометра. При этом особое внимание было уделено различию осей b и c , вдоль которых параметры элементарной ячейки довольно близки. Кристаллы облучали при комнатной температуре дозой $\sim 10 \text{ мрад}$ на γ -установке «Исследователь» в Ин-

ституте химической кинетики и горения СО АН СССР. Регистрацию спектров ЭПР проводили на спектрометре РЭ-1301. Изучали спектры монокристаллов при различных ориентациях вектора магнитного поля H относительно кристаллографических осей, а также спектры порошка. Точность установки заданной ориентации монокристалла не хуже 2° . Спектры записывали при разных температурах: от -180 до $+70^\circ\text{C}$ (температура плавления вещества). Точность измерения значений g -фактора составляет $\pm 0,001$, сверхтонких расщеплений $\pm 2 \text{ э}$.

На рис. 1 показан спектр монокристалла, соответствующий направлению вектора H , указанному с помощью направляющих косинусов в системе координат a , b , c . Интенсивные центральные линии обусловлены радикалами, содержащими немагнитный изотоп ^{76}Se . Боковые компоненты обязаны своим происхождением сверхтонкому взаимодействию неспаренного электрона с магнитным моментом ядра ^{77}Se , спин которого равен $1/2$. Суммарная интенсивность боковых компонент составляет около 8% от общей в соответствии с изотопным составом ядер Se.

Анализ спектров ЭПР показывает, что в данном случае образуется только один тип радикалов. Этот результат существенно отличается от результатов исследования $\text{LiH}_3(\text{SeO}_3)_2$ и $\text{NaH}_3(\text{SeO}_3)_2$, где наблюдалось по два структурно неэквивалентных радикала [4, 5]. Ориентационная зависимость спектров хорошо описывается спиновым гамильтонианом

$$\mathcal{H} = \beta_e S g H + S A I + \beta_N g_N I H,$$

где g — тензор g -фактора; A — тензор сверхтонкого взаимодействия; S и I — операторы спинов электрона и ядра ^{77}Se ; g_N — g -фактор ядра; β_e и β_N — магнетон Бора и ядерный магнетон. Определение параметров спин-гамильтониана проведено при комнатной температуре по стандартной методике диагонализации тензоров g^2 и A^2 [9, 10]. В таблице представлены главные значения и направляющие косинусы главных осей тензоров g и A . Необходимо отметить, что ошибки определения главных значений тензора сверхтонкого взаимодействия заметно превышают указанные выше $\pm 2 \text{ э}$ и обусловлены дополнительными ошибками процесса диагонализации. В принципе это же замечание относится и к тензору g , однако в данном случае, поскольку имеется только один сорт радикалов, анализ формы спектра поликристаллического образца позволяет независимо определить главные значения: g_{xx} , g_{yy} , g_{zz} с высокой точностью. Это в свою очередь помогает уточнить главные направления. Уточнение главных значений тензора A по спектру порошка затруднительно вследствие слабой интенсивности и большой анизотропии боковых компонент. Ошибки определения главных направлений A -тензора $\sim 15^\circ$, главных направлений g -тензора $\sim 5^\circ$.

Полученные величины главных значений тензоров g и A хорошо согласуются с теоретическими и экспериментальными данными для радикала SeO_2^- . Известно [9], что радикалы SeO_2^- , обладающие симметрией C_{2v} ,

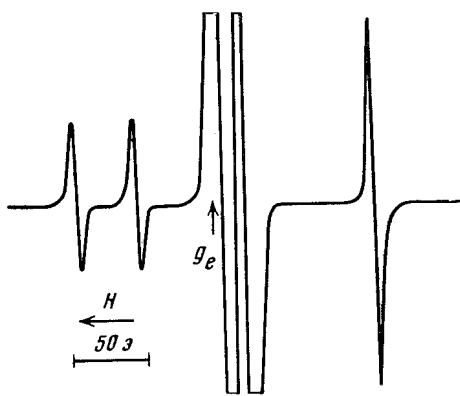


Рис. 1. Спектр ЭПР γ -облученного $\text{KH}_3(\text{SeO}_3)_2$ при $H(1/\sqrt{2}, 0, 1/\sqrt{2})$, $T = 20^\circ\text{C}$

Главные значения и направляющие косинусы g-тензора и тензора сверхтонкого взаимодействия радикала SeO_2^- в γ -облученном $\text{KH}_3(\text{SeO}_3)_2$

Тензор	Главные значения	Направляющие косинусы		
		a	b	c
g	$g_{xx} = 1,999 \pm 0,002$	0,213	0,754	0,621
	$g_{yy} = 2,030 \pm 0,002$	0,381	-0,642	0,658
	$g_{zz} = 2,005 \pm 0,002$	-0,903	-0,115	0,413
$A = a_{\text{изотр}} + a$	$A_{x'x'} = 296 \pm 5 \text{ э}$	0,092	0,686	0,721
	$A_{y'y'} = \mp 87 \pm 5 \text{ э}$	0,052	-0,727	0,685
	$A_{z'z'} = \mp 104 \pm 5 \text{ э}$	-0,994	0,026	0,102

$$a_{\text{изотр}} = 35, a_{x'x'} = 261, a_{y'y'} = -122, a_{z'z'} = -139 \text{ э} *$$

* Знаки меньших компонент тензора сверхтонкого взаимодействия выбраны с учетом данных [11].

характеризуются следующими параметрами. Тензор A аксиально-симметричен, причем ось симметрии x перпендикулярна плоскости радикала (направлена параллельно оси p_x -орбитали атома Se). Имеется небольшая изотропная составляющая сверхтонкого взаимодействия, обусловленная ча-

стичной поляризацией внутренних s-орбиталей неспаренным электроном [9, 11]. Направлению оси x соответствует минимальное по величине главное значение g-тензора, близкое к чисто спиновому значению; однако на опыте для радикалов SeO_2^- наблюдается небольшое уменьшение g_{xx} -компоненты, которое можно объяснить примесью d-орбиталей. Средняя по величине компонента g_{zz} соответствует направлению биссектрисы угла OSeO, наибольшая g_{yy} — направлению, соединяющему атомы кислорода. В нашем случае тензор A несколько отличается от аксиально-симметричного; направления, соответствующие g_{xx} и $A_{x'x'}$, в пределах ошибок совпадают.

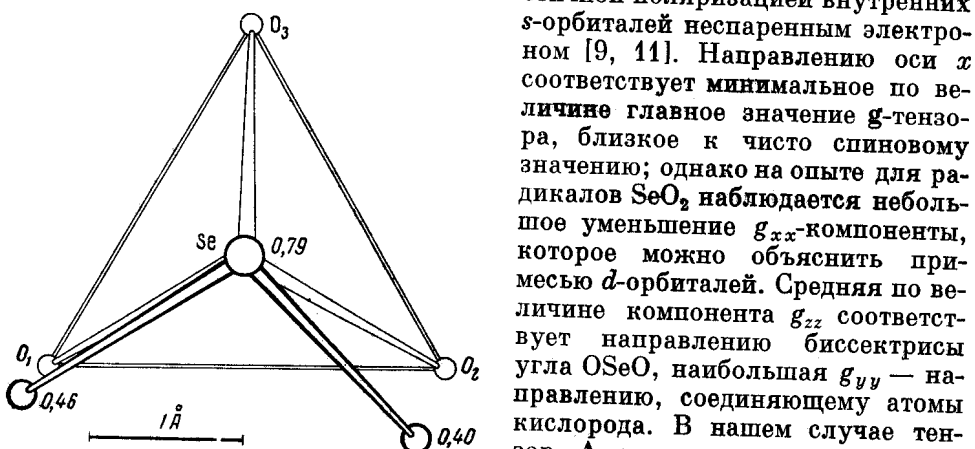


Рис. 2. Ориентация радикала SeO_2^- в проекции на плоскость атомов кислорода

ют, однако две другие пары осей развернуты примерно на 20° . Это обстоятельство, по-видимому, указывает, что симметрия радикала в $\text{KH}_3(\text{SeO}_3)_2$ ниже, чем C_{2v} .

Данные таблицы о направлении главных осей тензора g позволяют сделать качественный вывод об ориентации радикала в кристаллической решетке. На рис. 2 показана ориентация радикала SeO_2^- в проекции на плоскость трех атомов кислорода. Цифрами отмечены высоты соответствующих атомов над плоскостью. Для нахождения координат атомов кислорода, принадлежащих радикалу, использовались значения углов OSeO, равные 100° , и длины связей Se—O, равные примерно $1,7 \text{ \AA}$. Атомы Se радикала и группы SeO_3 на рис. 2 совпадают. Можно с уверенностью утверждать, что радикал SeO_2^- образовался в результате разрыва связи Se—O₃, причем оставшаяся группа несколько изменила свою ориентацию. Рас-

смотрение структуры $\text{KH}_3(\text{SeO}_3)_2$ позволяет в какой-то степени понять этот результат. Действительно, связь $\text{Se}-\text{O}_3$ — самая слабая, поскольку расстояние между этими атомами наибольшее. Далее, само расположение атома O_3 вблизи плоскости спайности, по которой может быть облегчена диффузия «молекулярных осколков», делает более вероятным отрыв именно этого атома, независимо от того, образуется ли радикал SeO_2^- в первичном акте радиолиза или является продуктом химической реакции SeO_3 -группы с другими, первичными, радикалами [12].

Интересной особенностью спектров ЭПР облученного тригидроселенита калия является небольшое расщепление (около 2 э) одной из центральных линий и соответствующих ей боковых компонент, обнаруживаемое при ориентациях вектора H , составляющих одинаковые углы с кристаллографическими осями a , b , c . Оно хорошо видно на рис. 3, где представлена только центральная часть спектра ЭПР. Однако изучение его ориентационной зависимости оказывается затруднительным из-за сильного перекрывания спектральных линий. Это дополнительное расщепление можно приписать сверхтонкому взаимодействию неспаренного электрона с ядром H , откуда следовало бы, что свободным радикалом является HSeO_2^- . Наличие такого радикала в облученной селенистой кислоте было доказано в работе [2]. Тем не менее для окончательного вывода необходимо использовать дейтерированный образец тригидроселенита калия *.

В заключение остановимся на результатах предварительного анализа температурных изменений спектров ЭПР. При нагревании образца вплоть до температуры плавления вещества, изменений в форме спектров не обнаруживается. Интересно отметить высокую температурную стабильность изучаемых радикалов: они начинают рекомбинировать лишь в непосредственной близости от температуры плавления, и то с довольно малой скоростью. Так, например, контрольный эксперимент с отжигом радикалов в течение 16 час. при температуре $69,7^\circ \text{C}$ с последующей регистрацией спектров при комнатной температуре показал, что концентрация свободных радикалов уменьшается всего в четыре раза.

Особый интерес представляло наблюдение спектров монокристаллов при температурах ниже -60°C . Этот интерес обусловлен тем, что при -62°C в $\text{KH}_3(\text{SeO}_3)_2$ происходит фазовый переход, сопровождающийся аномалией многих физических свойств [1, 8].

Оказалось, что в спектрах ЭПР монокристалла, начиная с -62°C , наблюдаются небольшие расщепления сверхтонких линий, плавно увеличивающиеся при понижении температуры. Изменения в спектрах имеют обратный характер и наибольшей величины (около 5 э) достигают при $\text{H} \parallel c$. Вид угловых зависимостей свидетельствует о возникновении двух структурно неэквивалентных радикалов при фазовом переходе. По-

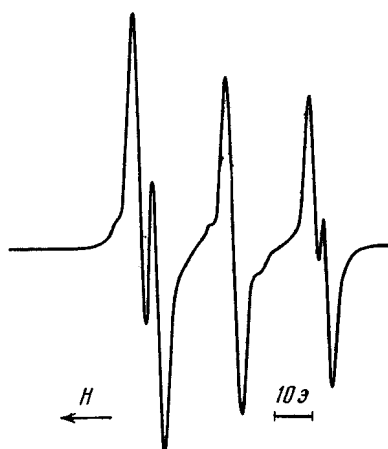


Рис. 3. Центральная часть спектра ЭПР при $\text{H}(1/\sqrt{3}, 1/\sqrt{3}, 1/\sqrt{3})$,
 $T = 20^\circ \text{C}$

* Изучение монокристалла дейтерированного образца, проведенное позднее, подтвердило предположение, что в γ -облученном $\text{KH}_3(\text{SeO}_3)_2$ образуется радикал HSeO_2^- .

видимому, происходит разориентация радикалов на небольшой угол, плавно увеличивающийся с понижением температуры.

Скачкообразных изменений в спектрах ЭПР в точке фазового перехода обнаружить не удалось.

Выражаем благодарность А. Г. Лундину за интерес к работе и полезное обсуждение, В. В. Иванькину и Л. Г. Фалалеевой за помощь в проведении эксперимента, В. А. Толкачеву — за любезное содействие в облучении образцов.

ЛИТЕРАТУРА

1. L. A. Shuvakov, N. V. Gordyeva et al. J. Phys. Soc. Japan, Suppl., 28, 75 (1970).
2. L. Jardine, D. E. O'Reilly, T. Tsang. J. Chem. Phys., 48, 1417 (1968).
3. R. Blinc. Advances in magnetic resonance. Ed. J. S. Waugh. vol. 3, p. 195. Academic Press, New York — London, 1968.
4. H. Iwasaki. J. Phys. Soc. Japan, 20, 1783 (1965).
5. R. Blinc, S. Poberaj, M. Schara, J. Stepinski. J. Phys. Chem. Solids, 27, 1391 (1966).
6. F. Hansen, R. Hazell, S. E. Rasmussen. Acta Chem. Scand., 23, 2563 (1969).
7. Л. В. Горбатый, В. И. Пономарев, Д. М. Хейкер. Кристаллография, 16, 899 (1971).
8. Л. А. Шувалов, Н. Р. Иванов, Т. К. Ситник. Кристаллография, 12, 366 (1967).
9. П. Эткинс, М. Саймонс. Спектры ЭПР и строение неорганических радикалов. «Мир», М., 1970.
10. А. Керрингтон, Э. Мак-Лечлан. Магнитный резонанс и его применение в химии. «Мир», М., 1970.
11. I. Chen, T. P. Das. J. Chem. Phys., 45, 3526 (1966).
12. В. В. Водский. Физика и химия элементарных химических процессов. «Наука», М., 1969.

Институт физики СО АН СССР
Красноярск

Статья поступила
26 апреля 1972 г.